

Détection d'agrégats pour données ponctuelles

Lionel Cucala

Mardi 27 Novembre 2007



Plan de l'exposé

Introduction

1-Le cadre temporel

2-Le cadre spatial

Conclusion

Plan de l'exposé

Introduction

1-Le cadre temporel

2-Le cadre spatial

Conclusion

Les processus ponctuels

Les processus ponctuels

- **Jeux de données** : semis de points consistant en la localisation d'événements de même nature : $\{s_1, \dots, s_n\}, s_i \in D \subset \mathbb{R}^d$.

Les processus ponctuels

- **Jeux de données** : semis de points consistant en la localisation d'événements de même nature : $\{s_1, \dots, s_n\}, s_i \in D \subset \mathbb{R}^d$.
- Modélisation par un processus aléatoire : le nombre N et les positions $\{S_1, \dots, S_N\}$ des événements sont aléatoires.

Les processus ponctuels

- **Jeux de données** : semis de points consistant en la localisation d'événements de même nature : $\{s_1, \dots, s_n\}, s_i \in D \subset \mathbb{R}^d$.
- Modélisation par un processus aléatoire : le nombre N et les positions $\{S_1, \dots, S_N\}$ des événements sont aléatoires.
- Intensité (de premier ordre) :

$$\lambda(s) = \lim_{\nu(ds) \rightarrow 0} \frac{\mathbb{E}N(ds)}{\nu(ds)}$$

où ds : volume infinitésimal centré en s .

La détection d'agrégats

La détection d'agrégats

➡ Définition :

Agrégat= zone où la concentration en évènements est anormalement élevée, non due au hasard.

La détection d'agrégats

- Définition :
Agrégat= zone où la concentration en évènements est anormalement élevée, non due au hasard.

- Question :
Y a-t-il un ou plusieurs agrégats ? Si oui, où ?

La détection d'agrégats

- Définition :
Agrégat= zone où la concentration en évènements est anormalement élevée, non due au hasard.

- Question :
Y a-t-il un ou plusieurs agrégats ? Si oui, où ?

- Attention !
Adaptation à la densité de population $f(s)$.

L'hypothèse nulle

L'hypothèse nulle

- On cherche à réfuter : (s_1, \dots, s_N) issu d'un processus de Poisson inhomogène d'intensité $\lambda(s) = af(s)$, $a > 0$.

L'hypothèse nulle

- On cherche à réfuter : (s_1, \dots, s_N) issu d'un processus de Poisson inhomogène d'intensité $\lambda(s) = af(s)$, $a > 0$.
- Sachant $N = n$, on cherchera à réfuter $H_0 : (s_1, \dots, s_n)$ i.i.d. de densité $f(s)$.

L'hypothèse nulle

- On cherche à réfuter : (s_1, \dots, s_N) issu d'un processus de Poisson inhomogène d'intensité $\lambda(s) = af(s)$, $a > 0$.
- Sachant $N = n$, on cherchera à réfuter $H_0 : (s_1, \dots, s_n)$ i.i.d. de densité $f(s)$.
- Objectifs : détection du (ou des) agrégat(s) **et** test de significativité par rapport à H_0 .

Plan de l'exposé

Introduction

1-Le cadre temporel

2-Le cadre spatial

Conclusion

Plan de l'exposé

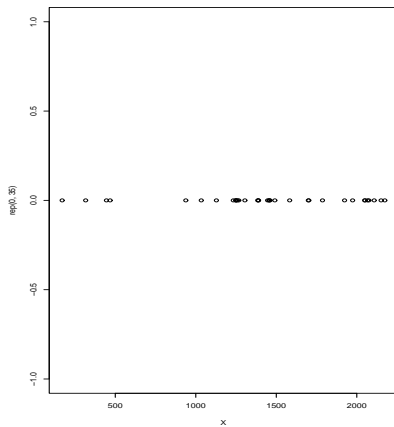
Introduction

1-Le cadre temporel

2-Le cadre spatial

Conclusion

Processus ponctuels temporels



Détection d'agrégats temporels

Détection d'agrégats temporels

- ➡ Première étape :
adaptation à la densité de population $f(t)$.

Détection d'agrégats temporels

- Première étape :
adaptation à la densité de population $f(t)$.
- Evénements :

$$\left\{ T_1, \dots, T_n \right\} \text{ sur } [0, T] \rightarrow \left\{ X_1, \dots, X_n \right\} \text{ sur } [0, 1]$$

$$\text{où } X_i = \frac{\int_0^{T_i} f(t)\nu(dt)}{\int_0^T f(t)\nu(dt)}.$$

Détection d'agrégats temporels

- Première étape :
adaptation à la densité de population $f(t)$.
- Evénements :

$$\left\{ T_1, \dots, T_n \right\} \text{ sur } [0, T] \rightarrow \left\{ X_1, \dots, X_n \right\} \text{ sur } [0, 1]$$

$$\text{où } X_i = \frac{\int_0^{T_i} f(t)\nu(dt)}{\int_0^T f(t)\nu(dt)}.$$

- $H_0 : \left\{ X_1, \dots, X_n \right\}$ i.i.d. $\sim U([0, 1])$.

La statistique de balayage

La statistique de balayage

$$\blacktriangleright \Lambda(d, n) = \max_{a \in [0, 1-d]} \sum_{i=1}^n \mathbb{1}(X_i \in [a, a+d]),$$

$$a^* = \operatorname{argmax}_{a \in [0, 1-d]} \sum_{i=1}^n \mathbb{1}(X_i \in [a, a+d]).$$

La statistique de balayage

➤ $\Lambda(d, n) = \max_{a \in [0, 1-d]} \sum_{i=1}^n \mathbb{1}(X_i \in [a, a+d]),$

$$a^* = \operatorname{argmax}_{a \in [0, 1-d]} \sum_{i=1}^n \mathbb{1}(X_i \in [a, a+d]).$$

- Distribution de $\Lambda(d, n)$ sous H_0 exprimée et tabulée (Huntington & Naus, 1975).

La statistique de balayage

$$\blacktriangleright \Lambda(d, n) = \max_{a \in [0, 1-d]} \sum_{i=1}^n \mathbb{1}(X_i \in [a, a+d]),$$

$$a^* = \operatorname{argmax}_{a \in [0, 1-d]} \sum_{i=1}^n \mathbb{1}(X_i \in [a, a+d]).$$

\blacktriangleright Distribution de $\Lambda(d, n)$ sous H_0 exprimée et tabulée (Huntington & Naus, 1975).

\blacktriangleright Agrégat $[a^*, a^* + d]$ jugé significatif si $P_0(\Lambda(d, n) > \sum_{i=1}^n \mathbb{1}(x_i \in [a^*, a^* + d])) < \alpha$.

La statistique de balayage

$$\blacktriangleright \Lambda(d, n) = \max_{a \in [0, 1-d]} \sum_{i=1}^n \mathbb{1}(X_i \in [a, a+d]),$$

$$a^* = \operatorname{argmax}_{a \in [0, 1-d]} \sum_{i=1}^n \mathbb{1}(X_i \in [a, a+d]).$$

\blacktriangleright Distribution de $\Lambda(d, n)$ sous H_0 exprimée et tabulée (Huntington & Naus, 1975).

\blacktriangleright Agrégat $[a^*, a^* + d]$ jugé significatif si $P_0(\Lambda(d, n) > \sum_{i=1}^n \mathbb{1}(x_i \in [a^*, a^* + d])) < \alpha$.

\blacktriangleright Problème : Longueur de l'agrégat d fixée à priori.

Introduction d'une fenêtre variable

Introduction d'une fenêtre variable

Comment comparer 2 intervalles de longueurs différentes ?

Introduction d'une fenêtre variable

Comment comparer 2 intervalles de longueurs différentes ?

Indice de concentration $I(m, d)$ pour un intervalle de longueur d contenant m événements.

Introduction d'une fenêtre variable

Comment comparer 2 intervalles de longueurs différentes ?

Indice de concentration $I(m, d)$ pour un intervalle de longueur d contenant m événements.

Exemple : $I(m, d) = m/d$ (# d'événements / unité de longueur)
⇒ Sélection du plus petit intervalle contenant 2 événements.

La statistique de balayage (fenêtre variable)

La statistique de balayage (fenêtre variable)

Hypothèse alternative $H_1 : \{X_1, \dots, X_n\}$ i.i.d. $\sim g(\cdot)$

$$\text{où } g(t) = \begin{cases} \frac{m}{nd} & \text{si } t \in [a, a + d], \\ \frac{1-m/n}{1-d} & \text{si } t \in [0, a] \cup [a + d, 1]. \end{cases}$$

La statistique de balayage (fenêtre variable)

Hypothèse alternative $H_1 : \{X_1, \dots, X_n\}$ i.i.d. $\sim g(\cdot)$

$$\text{où } g(t) = \begin{cases} \frac{m}{nd} & \text{si } t \in [a, a + d], \\ \frac{1-m/n}{1-d} & \text{si } t \in [0, a] \cup [a + d, 1]. \end{cases}$$

Test de H_0 contre H_1 :

La statistique de balayage (fenêtre variable)

Hypothèse alternative $H_1 : \{X_1, \dots, X_n\}$ i.i.d. $\sim g(\cdot)$

$$\text{où } g(t) = \begin{cases} \frac{m}{nd} & \text{si } t \in [a, a + d], \\ \frac{1-m/n}{1-d} & \text{si } t \in [0, a] \cup [a + d, 1]. \end{cases}$$

Test de H_0 contre H_1 :

$$\begin{aligned} \frac{L_1(X_1, \dots, X_n)}{L_0(X_1, \dots, X_n)} &= \left(\frac{m}{nd}\right)^m \left(\frac{1-m/n}{1-d}\right)^{n-m} \\ &= l_{scan}(m, d) \end{aligned}$$

La statistique de balayage (fenêtre variable)

Hypothèse alternative $H_1 : \{X_1, \dots, X_n\}$ i.i.d. $\sim g(\cdot)$

$$\text{où } g(t) = \begin{cases} \frac{m}{nd} & \text{si } t \in [a, a + d], \\ \frac{1-m/n}{1-d} & \text{si } t \in [0, a] \cup [a + d, 1]. \end{cases}$$

Test de H_0 contre H_1 :

$$\begin{aligned} \frac{L_1(X_1, \dots, X_n)}{L_0(X_1, \dots, X_n)} &= \left(\frac{m}{nd}\right)^m \left(\frac{1-m/n}{1-d}\right)^{n-m} \\ &= I_{scan}(m, d) \end{aligned}$$

$$\Lambda_{scan} = \sup_{m \geq n_0} I_{scan}(m, d).$$

La statistique de balayage (fenêtre variable)

Hypothèse alternative $H_1 : \{X_1, \dots, X_n\}$ i.i.d. $\sim g(\cdot)$

$$\text{où } g(t) = \begin{cases} \frac{m}{nd} & \text{si } t \in [a, a + d], \\ \frac{1-m/n}{1-d} & \text{si } t \in [0, a] \cup [a + d, 1]. \end{cases}$$

Test de H_0 contre H_1 :

$$\begin{aligned} \frac{L_1(X_1, \dots, X_n)}{L_0(X_1, \dots, X_n)} &= \left(\frac{m}{nd}\right)^m \left(\frac{1-m/n}{1-d}\right)^{n-m} \\ &= I_{scan}(m, d) \end{aligned}$$

$$\Lambda_{scan} = \sup_{m \geq n_0} I_{scan}(m, d).$$

Distribution de Λ_{scan} sous H_0 inconnue.

La statistique des espacements anormaux

La statistique des espacements anormaux

$$\blacktriangleright 0 = X_{(0)} \leq X_{(1)} \leq \cdots \leq \cdots \leq X_{(n)} \leq X_{(n+1)} = 1.$$

La statistique des espacements anormaux

➡ $0 = X_{(0)} \leq X_{(1)} \leq \cdots \leq \cdots \leq X_{(n)} \leq X_{(n+1)} = 1.$

➡ $D_i = X_{(i)} - X_{(i-1)}, i = 1, \dots, n + 1.$

La statistique des espacements anormaux

- $0 = X_{(0)} \leq X_{(1)} \leq \dots \leq \dots \leq X_{(n)} \leq X_{(n+1)} = 1.$
- $D_i = X_{(i)} - X_{(i-1)}, i = 1, \dots, n + 1.$
- Idée : Observer les espacements successifs.

La statistique des espacements anormaux

➤ $0 = X_{(0)} \leq X_{(1)} \leq \dots \leq \dots \leq X_{(n)} \leq X_{(n+1)} = 1.$

➤ $D_i = X_{(i)} - X_{(i-1)}, i = 1, \dots, n + 1.$

➤ Idée : Observer les espacements successifs.

➤ $S_{j,k} = \sum_{i=j+1}^k D_i = X_{(k)} - X_{(j)}, 1 \leq j < k \leq n.$

La statistique des espacements anormaux

➤ $0 = X_{(0)} \leq X_{(1)} \leq \dots \leq \dots \leq X_{(n)} \leq X_{(n+1)} = 1.$

➤ $D_i = X_{(i)} - X_{(i-1)}, i = 1, \dots, n + 1.$

➤ Idée : Observer les espacements successifs.

➤ $S_{j,k} = \sum_{i=j+1}^k D_i = X_{(k)} - X_{(j)}, 1 \leq j < k \leq n.$

➤ $\Lambda_{j,k} = F_0(S_{j,k}) = B_{inc}(S_{j,k}, k - j, n + 1 - k + j).$

La statistique des espacements anormaux

La statistique des espacements anormaux

➡ $\forall j = 1, \dots, n-1, \forall k = j+1, \dots, n :$

$$\Lambda_{j,k} \sim U([0, 1]) \text{ sous } H_0.$$

La statistique des espacements anormaux

➡ $\forall j = 1, \dots, n-1, \forall k = j+1, \dots, n :$

$$\Lambda_{j,k} \sim U([0, 1]) \text{ sous } H_0.$$

➡ $I_{\text{spac}}(m, d) = 1/\Lambda_{j,k}$

avec $m = k - j + 1$ et $d = X_{(k)} - X_{(j)}$.

La statistique des espacements anormaux

➡ $\forall j = 1, \dots, n-1, \forall k = j+1, \dots, n :$

$$\Lambda_{j,k} \sim U([0, 1]) \text{ sous } H_0.$$

➡ $I_{\text{spac}}(m, d) = 1/\Lambda_{j,k}$

avec $m = k - j + 1$ et $d = X_{(k)} - X_{(j)}$.

➡ Statistique retenue :

$$\Lambda_{\text{spac}} = \sup_{m \geq n_0} I_{\text{spac}}(m, d).$$

La statistique des espacements anormaux

➡ $\forall j = 1, \dots, n-1, \forall k = j+1, \dots, n :$

$$\Lambda_{j,k} \sim U([0, 1]) \text{ sous } H_0.$$

➡ $I_{spac}(m, d) = 1/\Lambda_{j,k}$

avec $m = k - j + 1$ et $d = X_{(k)} - X_{(j)}$.

➡ Statistique retenue :

$$\Lambda_{spac} = \sup_{m \geq n_0} I_{spac}(m, d).$$

➡ Distribution de Λ_{spac} sous H_0 inconnue.

Utilisation de la statistique

Utilisation de la statistique

- Agrégat le plus probable : $[X_{(j)}, X_{(k)}]$ maximisant $I_{spac}(m, d)$
(resp. $I_{scan}(m, d)$)
avec $m = k - j + 1$ et $d = X_{(k)} - X_{(j)}$.

Utilisation de la statistique

- ➡ Agrégat le plus probable : $[X_{(j)}, X_{(k)}]$ maximisant $I_{spac}(m, d)$ (resp. $I_{scan}(m, d)$)
avec $m = k - j + 1$ et $d = X_{(k)} - X_{(j)}$.
- ➡ Agrégat jugé significatif (rejet de H_0) si Λ_{spac} (resp. Λ_{scan}) supérieur au quantile d'ordre α sous H_0 (obtenu par simulation).

Détection de plusieurs agrégats

Détection de plusieurs agrégats

Ce qui se fait en pratique :

Détection de plusieurs agrégats

Ce qui se fait en pratique :

- ➡ Agrégat significatif sur $[X_{(j1)}, X_{(k1)}]$.

Détection de plusieurs agrégats

Ce qui se fait en pratique :

- Agrégat significatif sur $[X_{(j1)}, X_{(k1)}]$.
- On cherche $[X_{(j2)}, X_{(k2)}]$ maximisant $I(m2, d2)$ et tel que $[X_{(j1)}, X_{(k1)}] \cap [X_{(j2)}, X_{(k2)}] = \emptyset$.

Détection de plusieurs agrégats

Ce qui se fait en pratique :

- Agrégat significatif sur $[X_{(j1)}, X_{(k1)}]$.
- On cherche $[X_{(j2)}, X_{(k2)}]$ maximisant $I(m2, d2)$ et tel que $[X_{(j1)}, X_{(k1)}] \cap [X_{(j2)}, X_{(k2)}] = \emptyset$.
- Agrégat significatif sur $[X_{(j2)}, X_{(k2)}]$ si $I(m2, d2)$ supérieur au quantile d'ordre α .

Détection de plusieurs agrégats

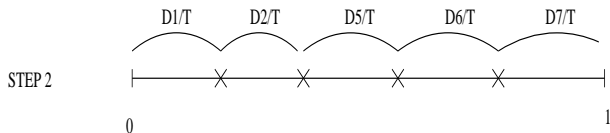
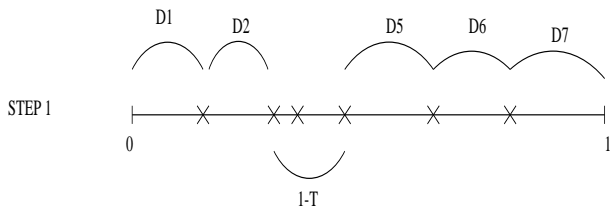
Ce qui se fait en pratique :

- Agrégat significatif sur $[X_{(j1)}, X_{(k1)}]$.
- On cherche $[X_{(j2)}, X_{(k2)}]$ maximisant $I(m2, d2)$ et tel que $[X_{(j1)}, X_{(k1)}] \cap [X_{(j2)}, X_{(k2)}] = \emptyset$.
- Agrégat significatif sur $[X_{(j2)}, X_{(k2)}]$ si $I(m2, d2)$ supérieur au quantile d'ordre α .

Problème de test multiple \Rightarrow procédure conservative.

Une procédure multiple

Une procédure multiple



Une procédure multiple

Une procédure multiple

- Agrégat significatif : $[X_{i^*}, X_{j^*}]$.

Une procédure multiple

- Agrégat significatif : $[X_{i^*}, X_{j^*}]$.
- On analyse $\{X_k^{(2)}, k = 1, \dots, n^{(2)}\}$ avec

$$X_k^{(2)} = \begin{cases} \frac{X_{(k)}}{T^*} & \text{if } 1 \leq k \leq i^*, \\ \frac{X_{(k+j^*-i^*)} - X_{j^*} + X_{i^*}}{T^*} & \text{if } i^* + 1 \leq k \leq n - j^* + i^*, \end{cases}$$

où $T^* = 1 - X_{j^*} + X_{i^*}$ et $n^{(2)} = n - j^* + i^*$.

Une procédure multiple

- Agrégat significatif : $[X_{i^*}, X_{j^*}]$.
- On analyse $\{X_k^{(2)}, k = 1, \dots, n^{(2)}\}$ avec

$$X_k^{(2)} = \begin{cases} \frac{X_{(k)}}{T^*} & \text{if } 1 \leq k \leq i^*, \\ \frac{X_{(k+j^*-i^*)} - X_{j^*} + X_{i^*}}{T^*} & \text{if } i^* + 1 \leq k \leq n - j^* + i^*, \end{cases}$$

où $T^* = 1 - X_{j^*} + X_{i^*}$ et $n^{(2)} = n - j^* + i^*$.

- Itération tant que agrégat significatif.

Une procédure multiple

- Agrégat significatif : $[X_{i^*}, X_{j^*}]$.
- On analyse $\{X_k^{(2)}, k = 1, \dots, n^{(2)}\}$ avec

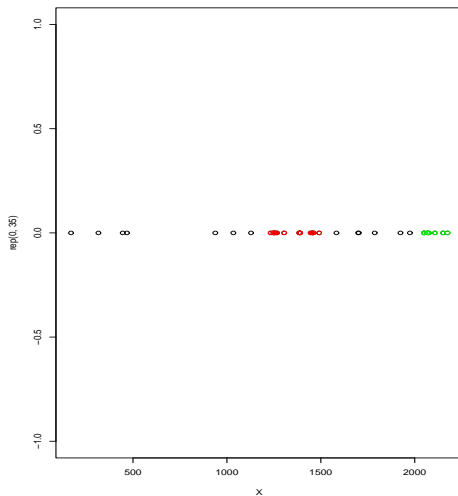
$$X_k^{(2)} = \begin{cases} \frac{X_{(k)}}{T^*} & \text{if } 1 \leq k \leq i^*, \\ \frac{X_{(k+j^*-i^*)} - X_{j^*} + X_{i^*}}{T^*} & \text{if } i^* + 1 \leq k \leq n - j^* + i^*, \end{cases}$$

où $T^* = 1 - X_{j^*} + X_{i^*}$ et $n^{(2)} = n - j^* + i^*$.

- Itération tant que agrégat significatif.
- $C \subseteq [X_{i^*}, X_{j^*}] \Rightarrow X_1^{(2)}, \dots, X_{n^{(2)}}^{(2)} \sim H_0$.

Agrégats identifiés

Agrégats identifiés



Significativité des agrégats

Erreur 1ère espèce : $\alpha = 0.2$

TAB.: Tests applied to Knox data set

Méthode	\hat{C}	p-valeur
$M\Lambda_{spac}$	[1233, 1491]	0.0039
	[1233, 1491] \cup [2049, 2174]	0.1209
$M\Lambda_{scan}(n_0 = 2)$	[1233, 1491]	0.1298
$M\Lambda_{scan}(n_0 = 5)$	[1233, 1491]	0.0086
	[1233, 1491] \cup [2049, 2174]	0.0806

Données sismiques

Secousses enregistrées en Italie en Janvier 2006.

TAB.: Tests applied to Italy earthquakes data set

Method	\hat{C}	p-value
$M\Lambda_{HF}$	[01/08/2006, 01/08/2006]	0.0058
$M\Lambda_{scan}(n_0 = 2)$	[01/08/2006, 01/08/2006]	0.0263
$M\Lambda_{scan}(n_0 = 5)$	[01/07/2006, 01/08/2006]	0.0204
$M\Lambda_{scan}(n_0 = 4)$	[01/08/2006, 01/08/2006]	0.0016

Application à des données simulées

Application à des données simulées

Simulation de 1000 jeux de données de 100 évènements (agrégat plat).

Application à des données simulées

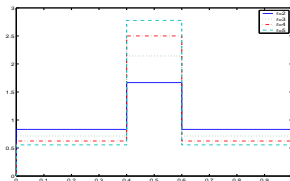
Simulation de 1000 jeux de données de 100 évènements (agrégat plat).

$$f_1(x) = \begin{cases} \frac{r}{0.8+0.2r} & \text{si } 0.4 \leq x \leq 0.6, \\ \frac{1}{0.8+0.2r} & \text{si } x \in [0, 0.4] \cup [0.6, 1], \\ 0 & \text{sinon.} \end{cases}$$

Application à des données simulées

Simulation de 1000 jeux de données de 100 événements (agrégat plat).

$$f_1(x) = \begin{cases} \frac{r}{0.8+0.2r} & \text{si } 0.4 \leq x \leq 0.6, \\ \frac{1}{0.8+0.2r} & \text{si } x \in [0, 0.4] \cup [0.6, 1], \\ 0 & \text{sinon.} \end{cases}$$



Application à des données simulées

Application à des données simulées

Erreur de première espèce : 5%.

Application à des données simulées

Erreur de première espèce : 5%.

$$TP = \nu(C \cap \hat{C})$$

Application à des données simulées

Erreur de première espèce : 5%.

$$TP = \nu(C \cap \hat{C})$$

$$TN = \nu(\bar{\hat{C}} \cap \bar{C}).$$

Application à des données simulées

Erreur de première espèce : 5%.

$$TP = \nu(C \cap \hat{C})$$

$$TN = \nu(\bar{\hat{C}} \cap \bar{C}).$$

$$I = TP + TN.$$

Application à des données simulées

TABLE.: Tests applied to a simulated flat cluster

r		Empirical results of the following :			
		Λ_{spac}	$M\Lambda_{spac}$	Λ_{scan}	$M\Lambda_{scan}$
2	Power		0.489		0.425
	TP	0.07008	0.07091	0.05681	0.05731
	TN	0.77711	0.77649	0.77934	0.77905
	I	0.84719	0.84740	0.83615	0.83636
3	Power		0.948		0.933
	TP	0.16447	0.16481	0.15860	0.15943
	TN	0.78121	0.77982	0.78182	0.77987
	I	0.94568	0.94463	0.94042	0.93930
5	Power		1		1
	TP	0.18636	0.18642	0.18621	0.18687
	TN	0.79339	0.79243	0.79339	0.79050
	I	0.97975	0.97885	0.9796	0.97737

Application à des données simulées

Application à des données simulées

Simulation de 1000 jeux de données de 100 évènements (agrégat en cloche).

Application à des données simulées

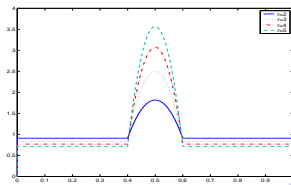
Simulation de 1000 jeux de données de 100 évènements (agrégat en cloche).

$$f_2(x) = \begin{cases} \frac{10}{r+9} \{1 + (r-1) * [1 - 100(x - 0.5)^2]\} & \text{si } 0.4 \leq x \leq 0.6, \\ \frac{10}{r+9} & \text{si } x \in [0, 0.4] \cup [0.6, 1], \\ 0 & \text{sinon.} \end{cases}$$

Application à des données simulées

Simulation de 1000 jeux de données de 100 évènements (agrégat en cloche).

$$f_2(x) = \begin{cases} \frac{10}{r+9} \{1 + (r-1) * [1 - 100(x-0.5)^2]\} & \text{si } 0.4 \leq x \leq 0.6, \\ \frac{10}{r+9} & \text{si } x \in [0, 0.4] \cup [0.6, 1], \\ 0 & \text{sinon.} \end{cases}$$



Application à des données simulées

TAB.: Tests applied to a simulated bell cluster

r		Empirical results of the following :			
		Λ_{spac}	$M\Lambda_{spac}$	Λ_{scan}	$M\Lambda_{scan}$
2	Power		0.318		0.285
	TP	0.03542	0.03558	0.02701	0.02717
	TN	0.78670	0.78670	0.78958	0.78955
	I	0.82212	0.82228	0.81659	0.81672
3	Power		0.833		0.783
	TP	0.10780	0.10838	0.09797	0.09904
	TN	0.78923	0.78809	0.79019	0.78804
	I	0.89703	0.89647	0.88816	0.88708
5	Power		1		0.999
	TP	0.14745	0.14846	0.14592	0.14732
	TN	0.79499	0.79191	0.79512	0.79121
	I	0.94244	0.94037	0.94104	0.93853

Application à des données simulées

TAB.: Tests applied to two simulated bell clusters

r		Empirical results of the following :			
		Λ_{HF}	$M\Lambda_{HF}$	Λ_{scan}	$M\Lambda_{scan}$
2	Power	0.241		0.214	
	TP	0.03201	0.03471	0.02479	0.02623
	TN	0.58689	0.58616	0.58821	0.58802
	I	0.6189	0.62087	0.61300	0.61425
3	Power	0.705		0.652	
	TP	0.10524	0.14506	0.09279	0.12277
	TN	0.57007	0.56638	0.56764	0.56323
	I	0.67531	0.71144	0.66043	0.68600
5	Power	0.991		0.981	
	TP	0.18975	0.27706	0.19204	0.27279
	TN	0.53388	0.52863	0.52504	0.51947
	I	0.72363	0.80569	0.71708	0.79226

Plan de l'exposé

Introduction

1-Le cadre temporel

2-Le cadre spatial

Conclusion

Plan de l'exposé

Introduction

1-Le cadre temporel

2-Le cadre spatial

Conclusion

Détection d'agrégats spatiaux

Détection d'agrégats spatiaux

n événements observés en $\{s_1, \dots, s_n\}$, $s_i \in D \subset \mathbb{R}^2$.

Détection d'agrégats spatiaux

n événements observés en $\{s_1, \dots, s_n\}$, $s_i \in D \subset \mathbb{R}^2$.

$H_0 : \{s_1, \dots, s_n\} i.i.d. \sim f(.)$.

Détection d'agrégats spatiaux

n événements observés en $\{s_1, \dots, s_n\}$, $s_i \in D \subset \mathbb{R}^2$.

$H_0 : \{s_1, \dots, s_n\} i.i.d. \sim f(.)$.

Principal problème : agrégats potentiels en nombre infini.

Détection d'agrégats spatiaux

n événements observés en $\{s_1, \dots, s_n\}$, $s_i \in D \subset \mathbb{R}^2$.

$H_0 : \{s_1, \dots, s_n\} i.i.d. \sim f(.)$.

Principal problème : agrégats potentiels en nombre infini.

Première solution :

Détection d'agrégats spatiaux

n événements observés en $\{s_1, \dots, s_n\}$, $s_i \in D \subset \mathbb{R}^2$.

$H_0 : \{s_1, \dots, s_n\} i.i.d. \sim f(.)$.

Principal problème : agrégats potentiels en nombre infini.

Première solution :

- ➡ définir une famille finie d'agrégats potentiels.

Détection d'agrégats spatiaux

n événements observés en $\{s_1, \dots, s_n\}$, $s_i \in D \subset \mathbb{R}^2$.

$H_0 : \{s_1, \dots, s_n\} i.i.d. \sim f(\cdot)$.

Principal problème : agrégats potentiels en nombre infini.

Première solution :

- définir une famille finie d'agrégats potentiels.
- Mêmes indicateurs de concentration avec :

$$\begin{aligned} I(m, d) &\rightarrow I(m, A) \\ d &\rightarrow \int_A f(s) \nu(ds) = \nu_f(A) \end{aligned}$$

Détection d'agrégats spatiaux

Détection d'agrégats spatiaux

Exemple : la "spatial scan statistic" (Kulldorff, 1997)

Détection d'agrégats spatiaux

Exemple : la "spatial scan statistic" (Kulldorff, 1997)

- ➡ Agrégats potentiels : disques dont centre=point d'une grille.

Détection d'agrégats spatiaux

Exemple : la "spatial scan statistic" (Kulldorff, 1997)

➤ Agrégats potentiels : disques dont centre=point d'une grille.



$$I_{scan}(m, A) = \left(\frac{m}{n\nu_f(A)} \right)^m \left(\frac{1 - m/n}{1 - \nu_f(A)} \right)^{n-m}.$$

Détection d'agrégats spatiaux

Exemple : la "spatial scan statistic" (Kulldorff, 1997)

➤ Agrégats potentiels : disques dont centre=point d'une grille.



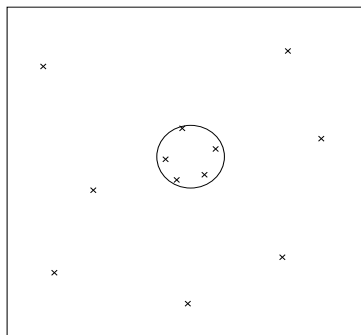
$$I_{scan}(m, A) = \left(\frac{m}{n\nu_f(A)} \right)^m \left(\frac{1 - m/n}{1 - \nu_f(A)} \right)^{n-m}.$$

Idée : utiliser plutôt

$$I_{spac}(m, A) = 1/B_{inc}(\nu_f(A), m - 1, n + 2 - m).$$

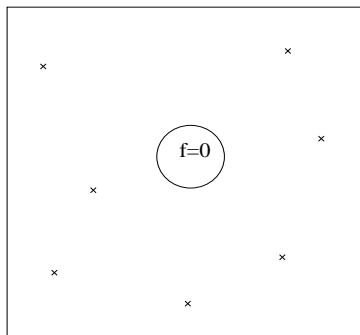
Une procédure multiple

Une procédure multiple



Une procédure multiple

Une procédure multiple



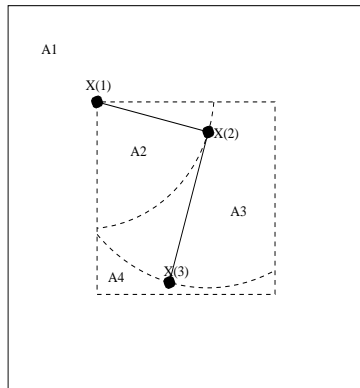
Détection d'agrégats spatiaux

Détection d'agrégats spatiaux

Deuxième solution : transformer les données.

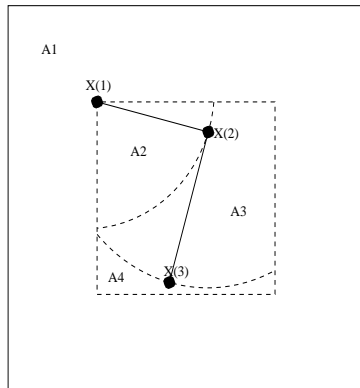
Détection d'agrégats spatiaux

Deuxième solution : transformer les données.



Détection d'agrégats spatiaux

Deuxième solution : transformer les données.



$$A'_i = \int_{A_i} f(s)\nu(ds), i = 1, \dots, n + 1.$$

Détection d'agrégats spatiaux

Détection d'agrégats spatiaux

$$B' = \int_B f(s)\nu(ds), \forall B \subset A.$$

Détection d'agrégats spatiaux

$$B' = \int_B f(s) \nu(ds), \forall B \subset A.$$

$$S_{1,r} = \{s \in A : d(s, \partial A) \leq r\}.$$

Détection d'agrégats spatiaux

$$B' = \int_B f(s)\nu(ds), \forall B \subset A.$$

$$S_{1,r} = \{s \in A : d(s, \partial A) \leq r\}.$$

Sous H_0 :

$$\begin{aligned} P(A'_1 \leq S'_{1,r}) &= 1 - P(A'_1 > S'_{1,r}) \\ &= 1 - P(X_i \in \overline{S_{1,r}}, \forall i = 1, \dots, n) \\ &= 1 - \left(\int_{\overline{S_{1,r}}} f(s)\nu(ds) \right)^n = 1 - (1 - S'_{1,r})^n, \end{aligned}$$

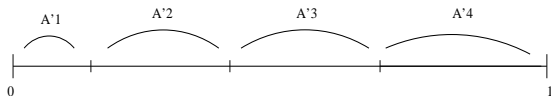
Détection d'agrégats spatiaux

Détection d'agrégats spatiaux

Sous H_0 : $\{A'_1, \dots, A'_{n+1}\} \sim \{D_1, \dots, D_{n+1}\}$.

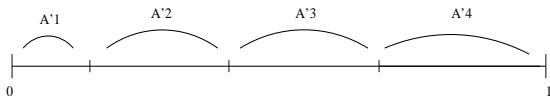
Détection d'agrégats spatiaux

Sous H_0 : $\{A'_1, \dots, A'_{n+1}\} \sim \{D_1, \dots, D_{n+1}\}$.



Détection d'agrégats spatiaux

Sous H_0 : $\{A'_1, \dots, A'_{n+1}\} \sim \{D_1, \dots, D_{n+1}\}$.



Détection d'agrégats temporels en utilisant $\{A'_1, \dots, A'_{n+1}\}$ au lieu de $\{D_1, \dots, D_{n+1}\}$.

Matérialisation des agrégats spatiaux

Matérialisation des agrégats spatiaux

Agrégats temporels : $I_i = [T_{(a_i)}, T_{(b_i)}], 1 \leq i \leq k.$

Matérialisation des agrégats spatiaux

Agrégats temporels : $I_i = [T_{(a_i)}, T_{(b_i)}], 1 \leq i \leq k.$

Agrégats spatiaux : $\hat{C}_i = \bigcup_{j=a_i+1}^{b_i} A_j.$

Matérialisation des agrégats spatiaux

Agrégats temporels : $I_i = [T_{(a_i)}, T_{(b_i)}], 1 \leq i \leq k.$

Agrégats spatiaux : $\hat{C}_i = \bigcup_{j=a_i+1}^{b_i} A_j.$

$\hat{C} = \bigcup_{i=1}^k \hat{C}_i.$

Application à des données simulées



Application à des données réelles



Plan de l'exposé

Introduction

1-Le cadre temporel

2-Le cadre spatial

Conclusion

Plan de l'exposé

Introduction

1-Le cadre temporel

2-Le cadre spatial

Conclusion

Conclusions et perspectives

Conclusions et perspectives

- ➡ Alternative à la statistique de balayage : indépendante de H_1 , plus puissante (temporel).

Conclusions et perspectives

- Alternative à la statistique de balayage : indépendante de H_1 , plus puissante (temporel).
- Procédure de détection d'agrégats de toutes formes (spatial).

Conclusions et perspectives

- Alternative à la statistique de balayage : indépendante de H_1 , plus puissante (temporel).
- Procédure de détection d'agrégats de toutes formes (spatial).
- Nécessité de pouvoir détecter plusieurs agrégats : mise en place d'une procédure multiple.

Conclusions et perspectives

- Alternative à la statistique de balayage : indépendante de H_1 , plus puissante (temporel).
- Procédure de détection d'agrégats de toutes formes (spatial).
- Nécessité de pouvoir détecter plusieurs agrégats : mise en place d'une procédure multiple.
- Travail sur la distribution de Λ_{spac} .

Conclusions et perspectives

- Alternative à la statistique de balayage : indépendante de H_1 , plus puissante (temporel).
- Procédure de détection d'agrégats de toutes formes (spatial).
- Nécessité de pouvoir détecter plusieurs agrégats : mise en place d'une procédure multiple.
- Travail sur la distribution de Λ_{spac} .
- Extension au cadre spatio-temporel : travail avec C. Dematteï et N. Molinari (distance spatio-temporelle).